

定义：非卷积腐蚀视觉，一般指在不采用卷积内核进行图片低速计算的方式下，图片每个像素仅仅做一次遍历来模拟酸碱腐蚀肽展公式计算，目的是 达到人肉眼观测不到而又难以辨认的色阶群进行观察拉伸。用于极速图片观测识别领域。

定义人 罗瑶光

DNA 催化视觉计算



Alkaid 罗瑶光的视频

- 11 播放

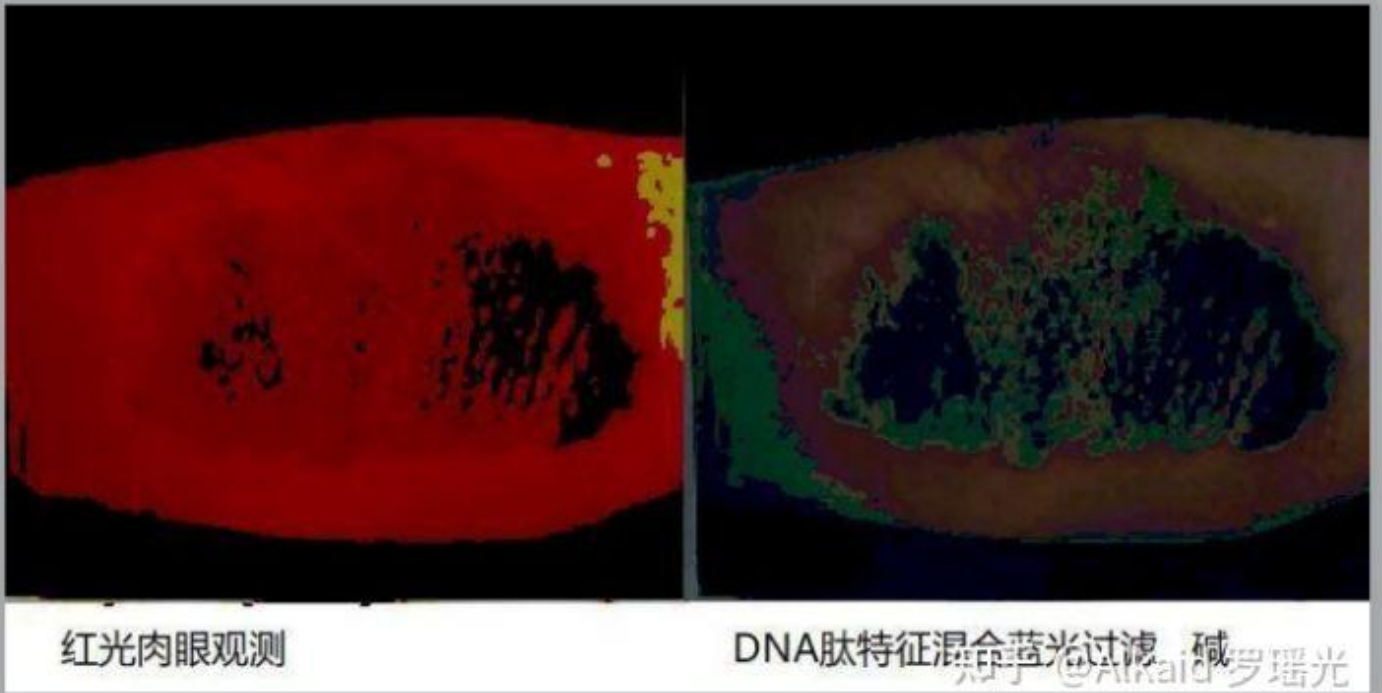
测试原图来自医学教材

DNA 非卷积视觉技术原理

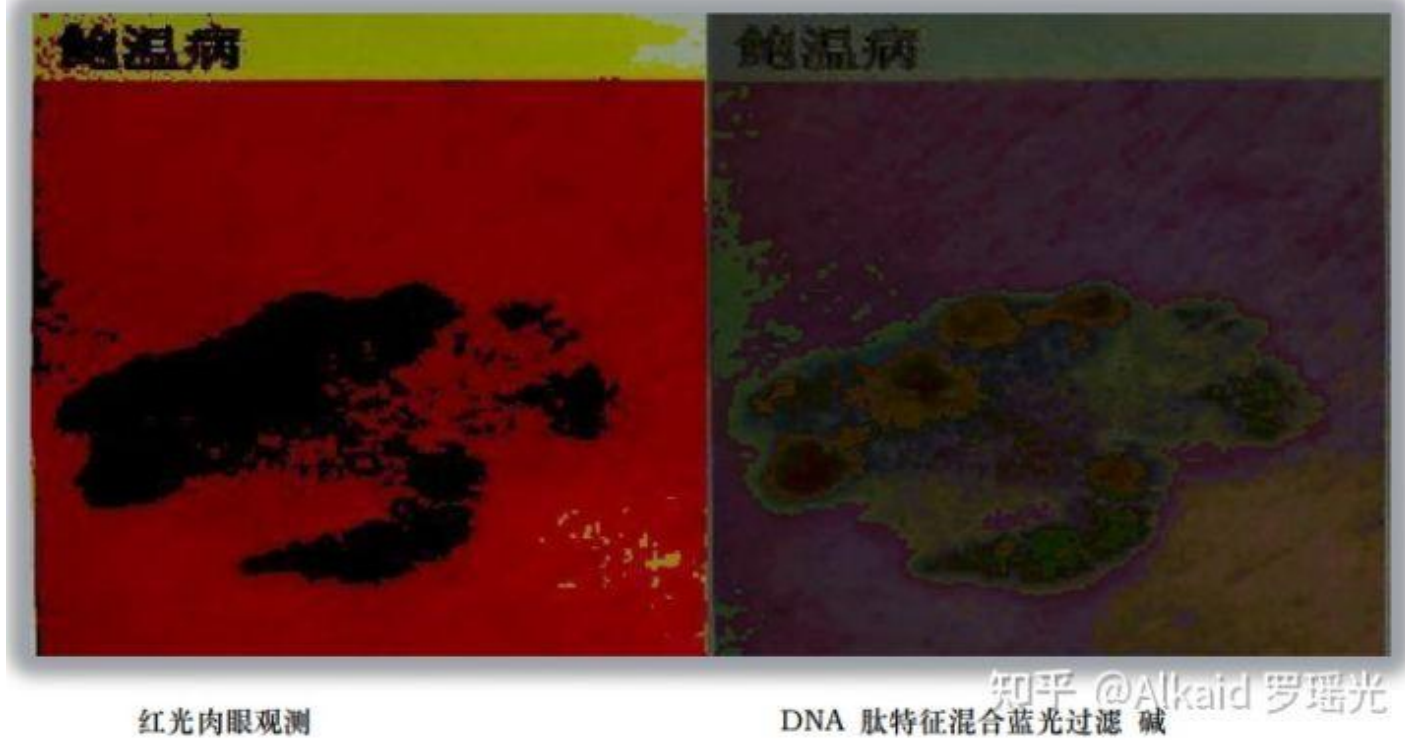
- 1 DNA 非卷积视觉技术将图片像素 0~255 的区间捕获后，进行元基进制变换，产生了离散色阶。
- 2 这个色阶，与之前像素亮度色阶完全不对称，利用这一点不对称，可以将邻近像素差不大的像素团进行颜色差的拉伸。
- 3 颜色差 的拉伸方式 为 有系统的 10 进制色 变换为 元基色 进行固定的 酸碱 更换。实践观测后发现价值巨大。

DNA 非卷积视觉技术原理

- 1 DNA 非卷积视觉技术将图片像素 0~255 的区间捕获后，进行元基进制变换，产生了离散色阶，
- 2 这个色阶，与之前像素亮度色阶完全不对称，利用这一点不对称，可以将邻近像素差不大的像素团进行颜色差的拉伸。
- 3 颜色差 的拉伸方式 为 有系统的 10 进制色 变换为 元基色 进行固定的 酸碱 更换。实践后发现价值巨大。



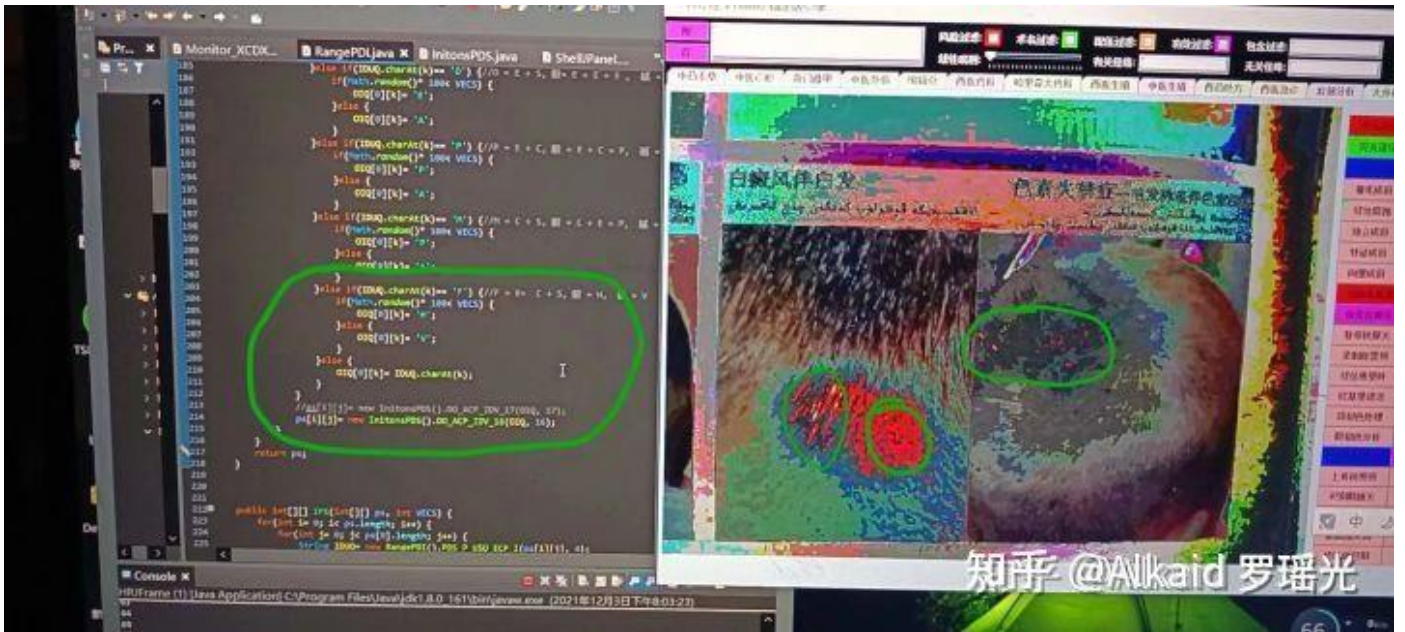
测试原图来自医学教材



测试原图来自医学教材

肽腐蚀，

1 DNA 非卷积视觉 用元基的酸碱变化规律定义为肽腐蚀。refer page 723



测试原图来自医学教材

2 DNA 非卷积视觉的肽腐蚀 需要将 10 进制数字变换成生化进制数值。refer page 724

3 DNA 非卷积视觉的肽腐蚀观测体征体现在颜色区间上。refer page 735 , 742

4 DNA 非卷积视觉的肽腐蚀浓度用概率百分比来标识。refer page 756 monitor.fac x y..

/* 不在此章移出去

肽钥匙,

1 DNA 非卷积视觉的肽钥匙采用化学的 酸酐酮酯 醇酶酰醚 来做钥匙

2 DNA 非卷积视觉的肽钥匙按 CNO 比例和活性来罗盘归纳

3 DNA 非卷积视觉的肽钥匙通过罗盘的方位和活性确定其语义属性

4 DNA 非卷积视觉的肽钥匙具备双元 生化语义无理级价值。

肽活性表达,

1 DNA 非卷积视觉的肽元基有化学活性归纳

2 DNA 非卷积视觉的肽元基有方位语义归纳

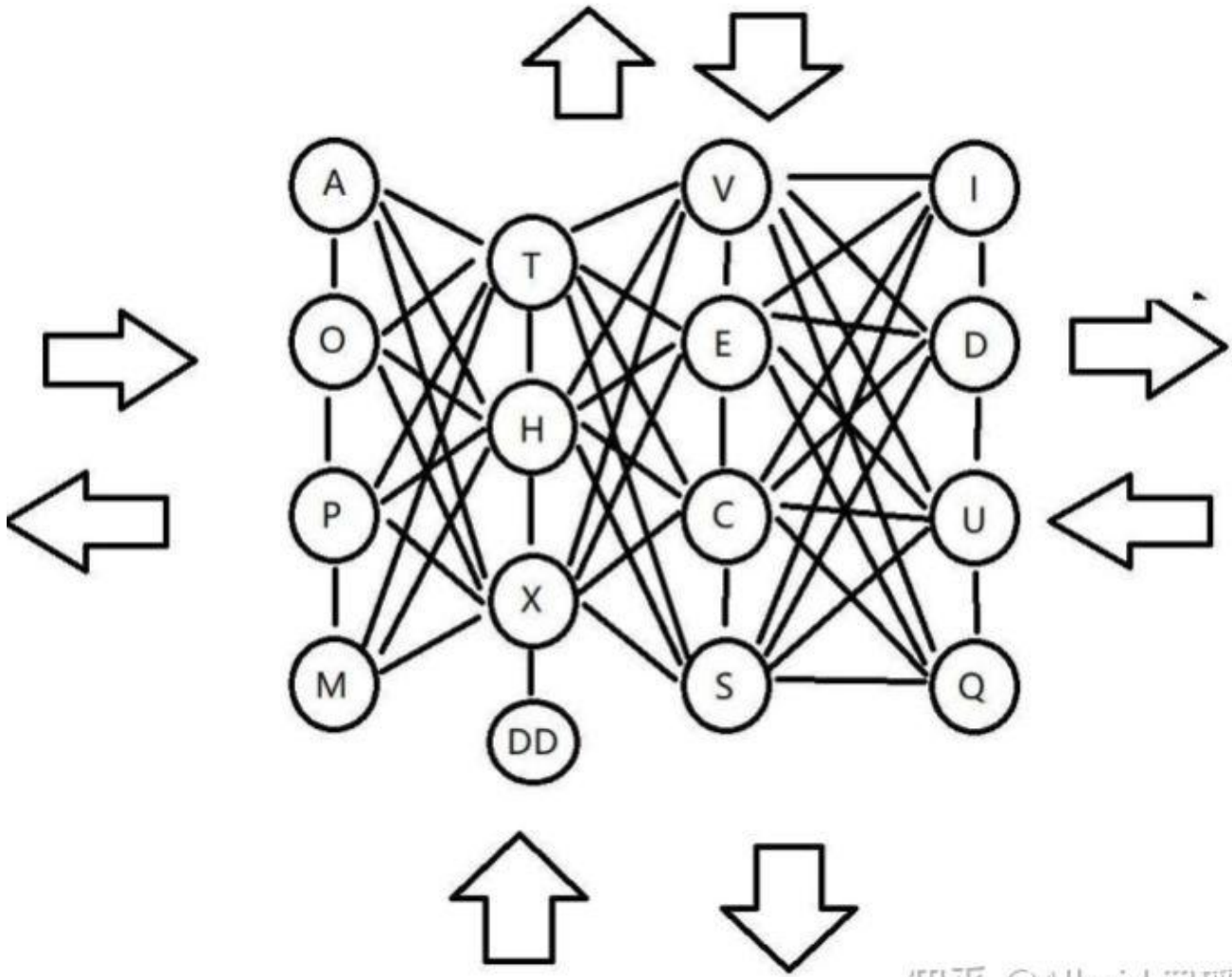
3 DNA 非卷积视觉的肽元基有活性归纳

*/

元基的视觉叠加与表达方式,

1 视觉流计算。refer page 756

四方位 DNN元基卷积



知乎 @Alkaid 罗瑶光

2 animation 动画。refer page 744

3 颜色的腐蚀精度调节。refer page 757

4 肽展公式的应用。refer page 723

时序视觉模拟机，

1 线性神经网络卷积计算 。refer page 772

2 卷积计算的方式。refer page 773

3 非卷积视觉的应用。refer page 756



图片识别应用，测试原图来自医学教材

费洛蒙的计算方式，

- 1 CNN 卷积元基 PDC 扩展。refer page 774
- 2 邻近元基 PDC 代谢 共同基。refer page 774
- 3 PDC 链结构 rotation。refer page 774
- 4 丝化散开与腐蚀。refer page 775

（下图的丝化是元基的概率组合的归纳如矩阵的新陈代谢模拟发散。不是肽展公式 PDS 丝化过程。下图的 1 和 2，作者认为是一种比较合乎情理的又具有代表性的概率矩阵组合归纳。罗瑶光补充 20220307）

1 首先假设两个三元组 正交 于是产生一个 笛卡尔矩阵如下

P	P		PP	PS	PI	
E	(.)	S	==	EP	ES	EI
I	I		IP	IS	II	

2 将笛卡尔组合矩阵进行 DNN (图片我写错了不是线性代数是 DNN) 的卷积列 循环合并排列 则有

PPPSPI	EPSESI	IPISII
PPEPIP	PSESIS	PIEIII
PFESII	PSEIIP	PIEPIS

3 开始肽展观测 非 PDE 的腐蚀排列 如下

...PPP.SPI.EPE.SEI.IPI.SII...
...PPE.PIP.PSE.SIS.PIE.III...
...PPE.SII.PSE.IIP.PIE.PIS...

4 寻找共同基 因为频率相同进行吸附。如下

...PPP.SPI.EPE.SEI.IPI.SII...
...PPE.PIP.PSE.SIS.PIE.III...
.....SII.....IIP.....PIS...

5 进行整理得到

...PPE.PIP.PSE.SIS.PIE.III...
.....SII.....IIP.....PIS...
...PPP.SPI.EPE.SEI.IPI.SII...

6 寻找共同基 因为频率相同进行吸附。如下

...PPE.PIP.PSE.SIS.PIE.III...
.....SII.....IIP.....PIS...
...PPP.SPI.EPE.SEI.IPI.....

7 再次进行整理得到

.....PIP.....SIS.....III...
...PPE.....PSE.....PIE.....
.....SII.....IIP.....PIS...
...PPP.SPI.EPE.SEI.IPI.....

知乎 @Alkaid 罗瑶光

罗瑶光的费洛蒙计算发散

费洛蒙计算在非生化研究领域发散的价值，主要体现在作者第一次有信心进行 DNA 元基仿生进化模拟计算，如之后的元基索引和 确定索引元基的新陈代谢方式的思维发散。通过大量证据逐步的论证出：软件的元基索引新陈代谢进化方式，与生物的进化方式是一致的。

应用

1 舌诊观测应用。refer page 736

2 骨 CT 观测应用。refer page 735



知乎 @Alkaid 罗瑶光

测试原图来自医学教材

3 皮肤病观测应用。refer page 下册 156, 下册 157

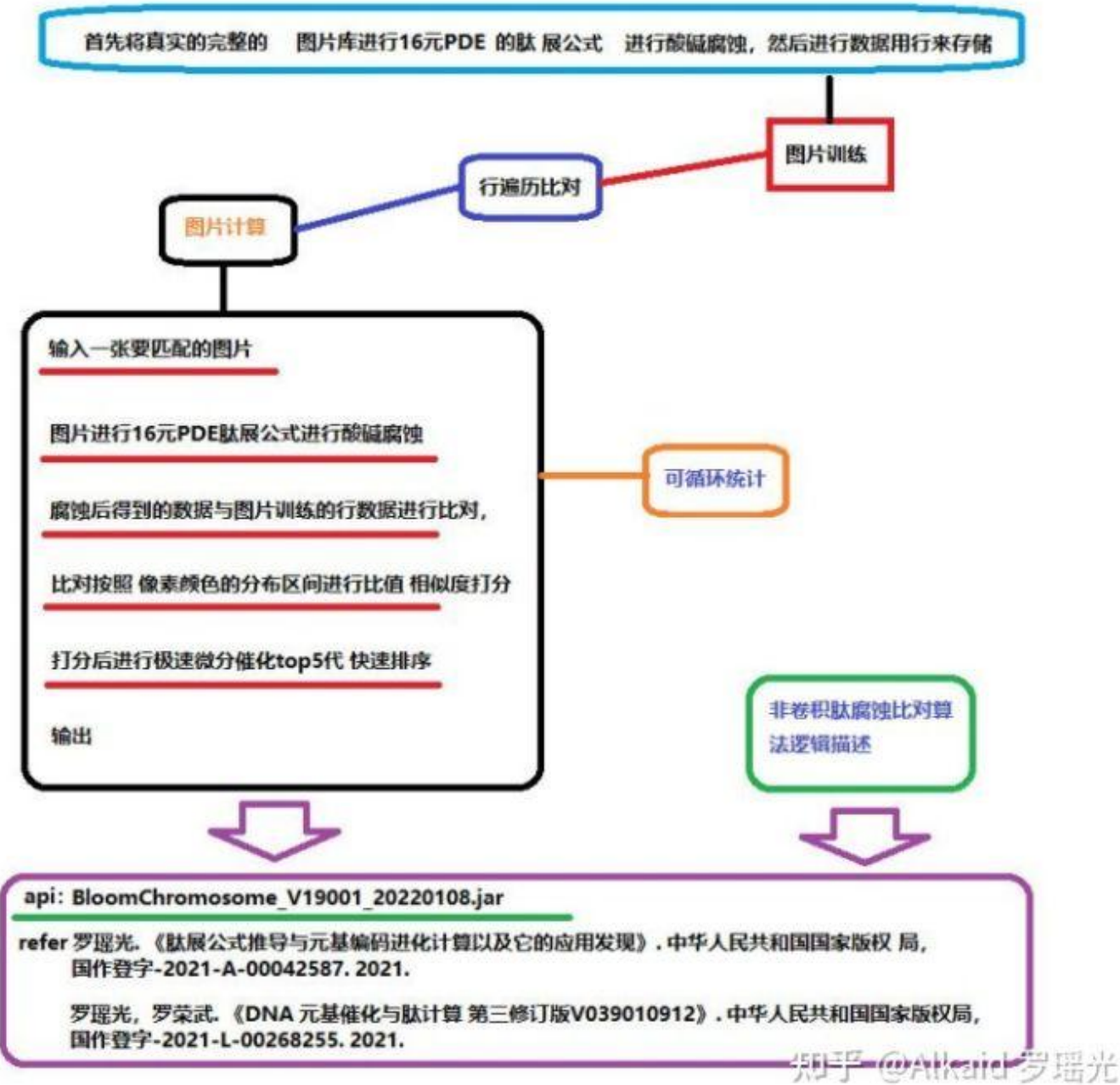


知乎 @Alkaid 罗瑶光

测试原图来自医学教材

4 图片读脏 应用逻辑

图片读脏能力



章节的著作权文件列表:

1. 罗瑶光. 《Java 数据分析算法引擎系统 V1.0.0》. 中华人民共和国国家版权局, 软著登字第 4584594 号. 2014.
2. 罗瑶光. 《数据预测引擎系统 V1.0.0》. 中华人民共和国国家版权局, 软著登字第 5447819 号. 2020.
3. 罗瑶光, 罗荣武. 《类人 DNA 与 神经元基于催化算子映射编码方式 V_1.2.2》. 中华人民共和国国家版权局, 国作登字-2021-A-00097017. 2021.
4. 罗瑶光. 《肽展公式推导与元基编码进化计算以及它的应用发现》. 中华人民共和国国家版权局, 国作登字-2021-A-00042587. 2021.
5. 罗瑶光. 《DNA 催化与肽展计算和 AOPM-TXH-VECS-IDUQ 元基解码 013026 中文版本》. 中华人民共和国国家版权局, 国作登字-2021-A-00042586. 2021.

6. 罗瑶光, 罗荣武. 《DNA 元基催化与肽计算第二卷养疗经应用研究 20210305》. 中华人民共和国国家版权局, 国作登字-2021-L-00103660. 2021.
7. 罗瑶光, 罗荣武. 《DNA 元基催化与肽计算 第三修订版 V039010912》. 中华人民共和国国家版权局, 国作登字-2021-L-00268255. 2021.
8. 类人数据生命的 DNA 计算思想 Github [引用日期 2020-03-05] https://github.com/yaoguanguo/Deta_Resource
9. 罗瑶光, 罗荣武. 《DNA 元基催化与肽计算 第四修订版 V00919》. 中华人民共和国国家版权局, SD-2022Z11L0025809. 2022.

文件资源

- 1 jar: https://github.com/yaoguanguo/ChromosomeDNA/blob/main/BloomChromosome_V19001_20220108.jar
- 2 book 《DNA 元基催化与肽计算 第四修订版 V00919》上下册
<https://github.com/yaoguanguo/ChromosomeDNA/tree/main/元基催化与肽计算第四修订版本整理>
- 3 函数在 git 的存储地址: demos
Github: <https://github.com/yaoguanguo/ChromosomeDNA/>
Coding: [公开仓库](#)
Bitbucket: [Bitbucket](#)
Gitee: [浏阳德塔软件开发有限公司 GPL2.0 开源大数据项目 \(DetaChina\) - Gitee.com](#)